

XII - Estrutura Fina e Hiperfina do Átomo de Hidrogênio

(1)

I - A equação de Dirac

A equação de Schrödinger pode ser obtida da relação clássica

$$E = \frac{P^2}{2m} + V(r)$$

com a identificação de $E \rightarrow i\hbar \frac{\partial}{\partial t}$ e $P \rightarrow -i\hbar \nabla$:

$$+i\hbar \frac{\partial \Psi}{\partial t} = -\frac{\hbar^2}{2m} \nabla^2 \Psi + V \Psi$$

A primeira tentativa de se obter uma equação relativística foi feita pelo próprio Schrödinger a partir de

$$E^2 = P^2 c^2 + m_0^2 c^4$$

resultando em

$$-\hbar^2 \frac{\partial^2 \Psi}{\partial t^2} = -\hbar^2 c^2 \nabla^2 \Psi + m_0^2 c^4 \Psi$$

A inclusão de campos eletromagnéticos e potenciais externos é

feita com $(E - e\phi - V)^2 = c^2 (\vec{P} - e\vec{A})^2 + m_0^2 c^4$, ou

$$\left(+i\hbar \frac{\partial}{\partial t} - e\phi - V\right)^2 \Psi = c^2 \left(-i\hbar \nabla - e\vec{A}\right)^2 \Psi + m_0^2 c^4 \Psi$$

que também é conhecida como equação de Klein-Gordon.

A equação de Klein-Gordon apresenta um problema sério. Escrevendo (12)

$$-\hbar^2 \frac{\partial^2 \psi^\dagger}{\partial t^2} = -\hbar^2 c^2 \nabla^2 \psi^\dagger + m^2 c^4 \psi^\dagger$$

e subtraindo da eq. para ψ , multiplicada por ψ^\dagger obtemos

$$-\hbar^2 \left[\psi^\dagger \frac{\partial^2 \psi}{\partial t^2} - \psi \frac{\partial^2 \psi^\dagger}{\partial t^2} \right] = -\hbar^2 c^2 \left[\psi^\dagger \nabla^2 \psi - \psi \nabla^2 \psi^\dagger \right]$$

$$\frac{\partial}{\partial t} \left[\psi^\dagger \frac{\partial \psi}{\partial t} - \psi \frac{\partial \psi^\dagger}{\partial t} \right] = c^2 \nabla \cdot \left[\psi^\dagger \nabla \psi - \psi \nabla \psi^\dagger \right]$$

Definindo

$$\rho = \left[\psi^\dagger \frac{\partial \psi}{\partial t} - \psi \frac{\partial \psi^\dagger}{\partial t} \right] \frac{i\hbar}{2mc^2}$$

$$\vec{J} = \frac{i\hbar}{2m} \left[\psi^\dagger \nabla \psi - \psi \nabla \psi^\dagger \right]$$

obtemos

$$\boxed{\frac{\partial \rho}{\partial t} + \nabla \cdot \vec{J} = 0}$$

No entanto, ρ não é positiva e não pode ser interpretada como densidade de probabilidade. No caso não-relativístico $\rho = |\psi|^2$.

Pauli e Wesskopf interpretaram a eq. de Klein-Gordon como uma partícula carregada de spin zero e ρ como a densidade de carga.

Dirac busca uma equação linear no tempo, e portanto linear (2)
 também nos momentos. Suponha que mantenhamos a estrutura

$$i\hbar \frac{\partial \Psi}{\partial t} = H \Psi$$

ou

$$H = c \vec{\alpha} \cdot \vec{p} + \beta m_0 c^2$$

é linear em $\vec{p} = -i\hbar \nabla$ para que as derivadas $\frac{\partial}{\partial x}$, $\frac{\partial}{\partial y}$ e $\frac{\partial}{\partial z}$ apareçam
 na mesma forma que $\frac{\partial}{\partial t}$. Escrevendo

$$\Psi(r, t) = \varphi(r) e^{-iEt/\hbar}$$

relembra que a energia E satisfaz a relação relativística $E^2 = p^2 c^2 + m_0^2 c^4$.
 A equação para $\varphi(r)$ é

$$(E - c \vec{\alpha} \cdot \vec{p} - \beta m_0 c^2) \varphi = 0$$

multiplicando à esquerda por $(E + c \vec{\alpha} \cdot \vec{p} + \beta m_0 c^2)$ obtemos

$$0 = (E + c \vec{\alpha} \cdot \vec{p} + \beta m_0 c^2) (E - c \vec{\alpha} \cdot \vec{p} - \beta m_0 c^2) \varphi$$

$$\equiv (E^2 - p^2 c^2 - m_0^2 c^4) \varphi$$

Para que isso ocorra temos que ter:

$$\alpha_x^2 = \alpha_y^2 = \alpha_z^2 = \beta^2 = 1$$

$$\alpha_x \alpha_y + \alpha_y \alpha_x = \alpha_x \alpha_z + \alpha_z \alpha_x = \alpha_y \alpha_z + \alpha_z \alpha_y = 0$$

$$\alpha_x \beta + \beta \alpha_x = \alpha_y \beta + \beta \alpha_y = \alpha_z \beta + \beta \alpha_z = 0$$

Os coeficientes $\vec{\alpha}$ e β não podem ser números, mas tem que ser matrizes. As menores matrizes possíveis são 4x4:

$$\beta = \begin{pmatrix} 1 & 0 & 0 & 0 \\ 0 & 1 & 0 & 0 \\ 0 & 0 & -1 & 0 \\ 0 & 0 & 0 & -1 \end{pmatrix}$$

$$\alpha_x = \begin{pmatrix} 0 & 0 & 1 & 0 \\ 0 & 0 & 1 & 0 \\ 0 & 1 & 0 & 0 \\ 1 & 0 & 0 & 0 \end{pmatrix}$$

$$\alpha_y = \begin{pmatrix} 0 & 0 & 0 & -i \\ 0 & 0 & i & 0 \\ 0 & -i & 0 & 0 \\ i & 0 & 0 & 0 \end{pmatrix}$$

$$\alpha_z = \begin{pmatrix} 0 & 0 & 1 & 0 \\ 0 & 0 & 1 & 0 \\ 1 & 0 & 0 & 0 \\ 0 & -1 & 0 & 0 \end{pmatrix}$$

Ou, em blocos 2x2:

$$\beta = \begin{pmatrix} 11 & 0 \\ 0 & -11 \end{pmatrix} \quad \vec{\alpha} = \begin{pmatrix} 0 & \vec{\sigma} \\ \vec{\sigma} & 0 \end{pmatrix} \quad ; \quad \vec{\sigma} = \text{matrizes de Pauli}$$

Essa representação descreve partículas de spin 1/2. Matrizes maiores são possíveis e descrevem partículas com spin maior. A função de onda agora é um spinor de 4 componentes.

SOLUÇÕES PARA A PARTÍCULA LIVRE : Escrevendo $\psi(\vec{r}) = e^{i\vec{k}\cdot\vec{r}} \begin{bmatrix} u_1 \\ u_2 \\ u_3 \\ u_4 \end{bmatrix}$

calculando

$$\left[E + i\hbar c \left(\alpha_x \frac{\partial}{\partial x} + \alpha_y \frac{\partial}{\partial y} + \alpha_z \frac{\partial}{\partial z} \right) - \beta m_0 c^2 \right] \psi(\vec{r}) = 0$$

obtemos 4 equações lineares, uma para cada componente do spinor. Em notação matricial temos

$$\begin{pmatrix} E - m_0 c^2 & 0 & i\hbar c \frac{\partial}{\partial y} & i\hbar c \frac{\partial}{\partial x} + \hbar c^2 \frac{\partial}{\partial y} \\ 0 & E - m_0 c^2 & i\hbar c \frac{\partial}{\partial x} - \hbar c^2 \frac{\partial}{\partial y} & -i\hbar c \frac{\partial}{\partial z} \\ i\hbar c \frac{\partial}{\partial z} & i\hbar c \frac{\partial}{\partial x} + \hbar c^2 \frac{\partial}{\partial y} & E + m_0 c^2 & 0 \\ i\hbar c \frac{\partial}{\partial x} - \hbar c^2 \frac{\partial}{\partial y} & -i\hbar c \frac{\partial}{\partial z} & 0 & E + m_0 c^2 \end{pmatrix} \begin{pmatrix} \psi_1 \\ \psi_2 \\ \psi_3 \\ \psi_4 \end{pmatrix} = 0$$

$$(E - m_0 c^2) \mu_1 - c p_3 \mu_3 + \mu_4 (i c p_y - c p_x) = 0$$

$$(E - m_0 c^2) \mu_2 + \mu_3 (-c p_x - i c p_y) + c p_3 \mu_4 = 0$$

$$-c p_3 \mu_1 + \mu_2 (-c p_x + i c p_y) + (E + m_0 c^2) \mu_3 = 0$$

$$(-c p_x - i c p_y) \mu_1 + c p_3 \mu_2 + (E + m_0 c^2) \mu_4 = 0$$

onde definiremos $P = \hbar K$. Em forma matricial obtemos

$$\begin{pmatrix} E - m_0 c^2 & 0 & -c p_3 & -c p_x \\ 0 & E - m_0 c^2 & -c p_x & c p_3 \\ -c p_3 & -c p_x & E + m_0 c^2 & 0 \\ -c p_x & c p_3 & 0 & E + m_0 c^2 \end{pmatrix} \begin{pmatrix} \mu_1 \\ \mu_2 \\ \mu_3 \\ \mu_4 \end{pmatrix} = 0$$

O sistema linear só tem solução se $\det(\dots) = 0$. O determinante resulta $[E^2 - m_0^2 c^4 - P^2 c^2]^2 = 0$ e tem duas raízes duplamente degeneradas. Os

auto-vetores são:

PARA $E_+ = \sqrt{P^2 c^2 + m_0^2 c^4}$

$$U_1 = \begin{bmatrix} 1 \\ 0 \\ c p_3 / E_+ \\ c p_x / E_+ \end{bmatrix}; U_2 = \begin{bmatrix} 0 \\ 1 \\ c p_x / E_+ \\ -c p_3 / E_+ \end{bmatrix}$$

PARA $E_- = -\sqrt{P^2 c^2 + m_0^2 c^4}$

$$U_3 = \begin{bmatrix} c p_3 / E_- \\ c p_x / E_- \\ 1 \\ 0 \end{bmatrix}; U_4 = \begin{bmatrix} c p_x / E_- \\ -c p_3 / E_- \\ 0 \\ 1 \end{bmatrix}$$

onde $P_{\pm} = P_x \pm i p_y$, $E_{\pm} = E_{\pm} \pm m_0 c^2$.

- Note que os auto-vetores são ortogonais: $U_i^* \cdot U_j = 0$ se $i \neq j$
- Escolhendo z na direção do momento, $p_x = p_z = 0$, $p_y = p$; $L_z = 0$, $J = S_z$ e U_i são auto-vetores de H e S_z .

CÁLCULO DOS AUTO-VECTORES

(42)

NO SUB-ESPAÇO E_+ AS 4 EQUAÇÕES SÃO:

$$(E_+ - mc^2)u_1 - c\rho_3 u_3 - c\rho_- u_4 = 0$$

$$(E_+ - mc^2)u_2 - c\rho_+ u_3 + c\rho_3 u_4 = 0$$

$$u_3 E_+^1 = c(\rho_3 u_1 + \rho_- u_2)$$

$$u_4 E_+^1 = c(\rho_+ u_1 - \rho_3 u_2)$$

Como a degenerescência de E_+ é 2, se podemos usar 2 dessas equações e determinar, por exemplo, u_3 e u_4 em termos de u_1 e u_2 , dados pelas últimas 2 equações.

Qualquer vetor da forma

$$U_+ = \begin{pmatrix} u_1 \\ u_2 \\ \frac{c\rho_3 u_1}{E_+^1} + \frac{c\rho_- u_2}{E_+^1} \\ \frac{c\rho_+ u_1}{E_+^1} - \frac{c\rho_3 u_2}{E_+^1} \end{pmatrix} = \begin{pmatrix} 1 \\ 0 \\ c\rho_3/E_+^1 \\ c\rho_+/E_+^1 \end{pmatrix} u_1 + \begin{pmatrix} 0 \\ 1 \\ c\rho_-/E_+^1 \\ -c\rho_3/E_+^1 \end{pmatrix} u_2$$

é auto-vetor com $E = E_+^1$. Dois vetores ortogonais são obtidos com $u_2 = 0$ e com $u_1 = 0$. Outra escolha seria $u_1 = u_2$ e $u_2 = -u_1$.

O mesmo ocorre com o subespaço E_- .

No limite não relativístico $E_{\pm}^i \approx \pm 2m_0c^2$ e (5)

$$\frac{c p_i}{E_{\pm}^i} \approx \frac{c p_i}{2m_0c^2} \approx \frac{p_i/m_0}{c} = \frac{v}{c} \ll 1. \text{ Nesse caso obtemos simplesmente}$$

$$U_1 = \begin{pmatrix} 1 \\ 0 \\ 0 \\ 0 \end{pmatrix}, U_2 = \begin{pmatrix} 0 \\ 1 \\ 0 \\ 0 \end{pmatrix}, U_3 = \begin{pmatrix} 0 \\ 0 \\ 1 \\ 0 \end{pmatrix}, U_4 = \begin{pmatrix} 0 \\ 0 \\ 0 \\ 1 \end{pmatrix}.$$

Potenciais Centrais : $H = c\vec{\alpha} \cdot \vec{p} + \beta m_0c^2 + V(r)$

$$(A) [L_x, H] = [L_x, c\vec{\alpha} \cdot \vec{p}] = c [\alpha_x p_y - \alpha_y p_x, \alpha_x p_y + \alpha_z p_z] = -i\hbar c (\alpha_z p_y - \alpha_y p_z) \neq 0$$

\Rightarrow o momento angular não é mais um bom número quântico.

O operador de spin no espaço 4-dimensional dos spinores é definido como

$$\vec{S} = \frac{\hbar}{2} \begin{pmatrix} \vec{\sigma}^i & 0 \\ 0 & \vec{\sigma}^i \end{pmatrix} = \frac{\hbar}{2} \vec{\sigma}^i$$

Vemos que

$$(B) [S_x, H] = \frac{\hbar c}{2} [\sigma_x^i, \vec{\alpha} \cdot \vec{p}] + \frac{\hbar m_0 c^2}{2} \underbrace{[\sigma_x^i, \beta]}_{=0} \quad (\text{Exercício: mostre esses comutadores!})$$

$$= i\hbar c (\alpha_z p_y - \alpha_y p_z) \neq 0 = - [L_x, H]$$

Definindo $\vec{J} = \vec{L} + \vec{S}$ vemos que $[J_i, H] = [J^2, H] = 0$.

Vamos agora tomar o limite não relativístico da equação de Dirac.

em primeiro lugar escrevemos

$$\Psi = \begin{bmatrix} \Psi_1 \\ \Psi_2 \end{bmatrix}$$

onde cada Ψ_i é um spinor de duas componentes. A equação de Dirac fica:

a) Cálculo de $[\sigma_x', \vec{\alpha} \cdot \vec{p}]$

$$\sigma_x' = \begin{pmatrix} \sigma_x & 0 \\ 0 & \sigma_x \end{pmatrix} \quad \vec{\sigma} \cdot \vec{p} = \begin{pmatrix} 0 & A \\ A & 0 \end{pmatrix} \quad \text{ond} \quad A = \begin{pmatrix} p_3 & p_- \\ p_+ & -p_3 \end{pmatrix}$$

$$\sigma_x' \cdot \vec{\sigma} \cdot \vec{p} = \begin{pmatrix} \sigma_x & 0 \\ 0 & \sigma_x \end{pmatrix} \begin{pmatrix} 0 & A \\ A & 0 \end{pmatrix} = \begin{pmatrix} 0 & \sigma_x A \\ \sigma_x A & 0 \end{pmatrix}$$

$$(\vec{\sigma} \cdot \vec{p}) \sigma_x' = \begin{pmatrix} 0 & A \\ A & 0 \end{pmatrix} \begin{pmatrix} \sigma_x & 0 \\ 0 & \sigma_x \end{pmatrix} = \begin{pmatrix} 0 & A \sigma_x \\ A \sigma_x & 0 \end{pmatrix}$$

$$[\sigma_x', \vec{\sigma} \cdot \vec{p}] = \begin{pmatrix} 0 & [\sigma_x, A] \\ [\sigma_x, A] & 0 \end{pmatrix}$$

$$\sigma_x A = \begin{pmatrix} 0 & 1 \\ 1 & 0 \end{pmatrix} \begin{pmatrix} p_3 & p_- \\ p_+ & -p_3 \end{pmatrix} = \begin{pmatrix} p_+ & -p_3 \\ p_3 & p_- \end{pmatrix}$$

$$A \sigma_x = \begin{pmatrix} p_3 & p_- \\ p_+ & -p_3 \end{pmatrix} \begin{pmatrix} 0 & 1 \\ 1 & 0 \end{pmatrix} = \begin{pmatrix} p_- & p_3 \\ -p_3 & p_+ \end{pmatrix}$$

$$[\sigma_x, A] = \begin{pmatrix} p_+ - p_- & -2p_3 \\ 2p_3 & p_- - p_+ \end{pmatrix} = 2 \begin{pmatrix} i p_y & -p_3 \\ p_3 & -i p_y \end{pmatrix} = 2i(p_y \sigma_3 - p_3 \sigma_y)$$

$$e \quad [\sigma_x', \vec{\sigma} \cdot \vec{p}] = 2i \begin{pmatrix} 0 & p_+ \sigma_3 - p_3 \sigma_y \\ p_+ \sigma_3 - p_3 \sigma_y & 0 \end{pmatrix} = 2i(p_y \sigma_3 - p_3 \sigma_y)$$

$$b) \quad [\sigma_x', p] = \begin{pmatrix} 0 & 1 & 0 & 0 \\ 1 & 0 & 0 & 0 \\ 0 & 0 & 0 & 0 \\ 0 & 0 & 0 & 0 \end{pmatrix} \begin{pmatrix} 1 & 0 & 0 & 0 \\ 0 & 1 & 0 & 0 \\ 0 & 0 & 1 & 0 \\ 0 & 0 & 0 & -1 \end{pmatrix} - \begin{pmatrix} 1 & 0 & 0 & 0 \\ 0 & 1 & 0 & 0 \\ 0 & 0 & 1 & 0 \\ 0 & 0 & 0 & -1 \end{pmatrix} \begin{pmatrix} 0 & 1 & 0 & 0 \\ 1 & 0 & 0 & 0 \\ 0 & 0 & 0 & 1 \\ 0 & 0 & 1 & 0 \end{pmatrix} = 0$$

$$\begin{pmatrix} m_0 c^2 + V & c \vec{\sigma} \cdot \vec{p} \\ c \vec{\sigma} \cdot \vec{p} & -m_0 c^2 + V \end{pmatrix} \begin{pmatrix} \psi_1 \\ \psi_2 \end{pmatrix} = E \begin{pmatrix} \psi_1 \\ \psi_2 \end{pmatrix}$$

u

$$\begin{aligned} V \psi_1 + c (\vec{\sigma} \cdot \vec{p}) \psi_2 &= E \psi_1 \\ V \psi_2 + c (\vec{\sigma} \cdot \vec{p}) \psi_1 &= (E + 2m_0 c^2) \psi_2 \end{aligned}$$

nd $\mathcal{E} = E - m_0 c^2$ é a energia total menos a parte de repouso.

Da segunda equação obtemos

$$\psi_2 = (E + 2m_0 c^2 - V)^{-1} c (\vec{\sigma} \cdot \vec{p}) \psi_1$$

po substituímos na primeira:

$$E \psi_1 = V \psi_1 + c (\vec{\sigma} \cdot \vec{p}) (E - V + 2m_0 c^2)^{-1} c (\vec{\sigma} \cdot \vec{p}) \psi_1$$

No limite não relativístico aproximamos

$$\frac{E^2}{2m_0 c^2 + (E - V)} = \frac{E^2}{2m_0 c^2} \frac{1}{1 + \frac{E - V}{2m_0 c^2}} \approx \frac{1}{2m_0} \left[1 - \frac{E - V}{2m_0 c^2} \right] \quad \text{e obtemos}$$

$$E \psi_1 = V \psi_1 + \frac{1}{2m_0} (\vec{\sigma} \cdot \vec{p}) \left[1 - \frac{E - V}{2m_0 c^2} \right] (\vec{\sigma} \cdot \vec{p}) \psi_1$$

Usando agora a relação $(\vec{\sigma} \cdot \vec{A})(\vec{\sigma} \cdot \vec{B}) = \vec{A} \cdot \vec{B} + i \vec{\sigma} \cdot (\vec{A} \times \vec{B})$ temos

$$\begin{aligned} 1) (\vec{\sigma} \cdot \vec{p})(\vec{\sigma} \cdot \vec{p}) &= p^2 \\ 2) (\vec{\sigma} \cdot \vec{p}) V (\vec{\sigma} \cdot \vec{p}) &= (\vec{\sigma} \cdot \vec{p} V) (\vec{\sigma} \cdot \vec{p}) = \vec{\sigma} \cdot (V \vec{p} - i \hbar \nabla V) (\vec{\sigma} \cdot \vec{p}) \\ &= V p^2 - i \hbar \left[\nabla V \cdot \vec{p} + i \vec{\sigma} \cdot (\nabla V \times \vec{p}) \right] \end{aligned}$$

que resulta em

$$E \psi_1 = \left(\frac{p^2}{2m_0} + V \right) \psi_1 - \frac{1}{4m_0^2 c^2} \left\{ (E - V) p^2 + i \hbar \left[(\nabla V) \cdot \vec{p} + i \vec{\sigma} \cdot (\nabla V \times \vec{p}) \right] \right\} \psi_1$$

Fazemos agora mais uns pequenos ajustes: (7)

a) em "ordem zero" $\mathcal{E}\Psi_1 = \left(\frac{p^2}{2m_0} + V\right)\Psi_1$ e' a Eq de Schrödinger.

Então podemos aproximar $(\mathcal{E}-V)p^2 \approx \left(\frac{p^2}{2m_0}\right)p^2 = p^4/2m_0$

b) Como $V = V(r)$; $\nabla V = \frac{1}{r} \frac{dV}{dr} \mathbf{r} = \frac{dV}{dr} \hat{\mathbf{r}}$ e $(\nabla V \cdot \nabla) = \frac{dV}{dr} \frac{\partial}{\partial r}$
 $\nabla = \hat{\mathbf{r}} \frac{\partial}{\partial r} + \hat{\theta}(\lrcorner) \hat{\phi}(\lrcorner)$

$$\mathcal{E}\Psi_1 = \left[\frac{p^2}{2m_0} - \frac{p^4}{8m_0^3 c^2} + V(r) - \frac{\hbar^2}{4m_0^2 c^2} \frac{dV}{dr} \frac{\partial}{\partial r} + \frac{1}{4m_0^2 c^2} \hbar \vec{\sigma} \cdot \left(\frac{1}{r} \frac{dV}{dr} \mathbf{r} \times \mathbf{p} \right) \right]$$

Identificamos $\mathbf{L} = \mathbf{r} \times \mathbf{p}$
 $\vec{S} = \frac{\hbar}{2} \vec{\sigma}$ obtemos finalmente

$$\mathcal{E}\Psi_1 = \left[\underbrace{\left(\frac{p^2}{2m_0} + V(r)\right)}_{H_0} - \underbrace{\frac{p^4}{8m_0^3 c^2}}_{W_{mv}} + \underbrace{\frac{1}{2m_0^2 c^2} \frac{1}{r} \frac{dV}{dr} \vec{S} \cdot \vec{L}}_{W_{so}} - \underbrace{\frac{\hbar^2}{4m_0^2 c^2} \frac{dV}{dr} \frac{\partial}{\partial r}}_{W_D} \right] \Psi_1$$

\downarrow termo cinético \downarrow termo spin-órbita \downarrow termo de Darwin

O termo de Darwin pode ainda ser re-escrito como

$$+ \frac{\hbar^2}{8m_0^2 c^2} \nabla^2 V$$

que é sua forma mais usual, como mostramos a seguir.

~~Veja que $(\nabla V) \cdot \mathbf{p} \Psi_1 =$~~

~~$-i\hbar(\nabla V) \cdot (\nabla \Psi_1) = \nabla \cdot [-i\hbar(\nabla V) \Psi_1] + i\hbar(\nabla^2 V) \Psi_1 = i\hbar(\nabla^2 V) \Psi_1$, pois o "termo de superfície" $\rightarrow 0$.~~

Termo de Darwin

Para o potencial Coulombiano $V(r) = -\frac{e^2}{r}$, $\frac{dV}{dr} = \frac{e^2}{r^2}$

correção em primeira ordem nos estados $\Psi_{nlm} = R_{nl}(r) Y_{lm}(\theta, \phi)$ e'

$$\begin{aligned} \Delta E &= -\frac{\hbar^2 e^2}{4m_0^2 c^2} \int |Y_{lm}|^2 d\Omega \int_0^\infty R \frac{\partial R}{\partial r} \frac{1}{r^2} r^2 dr \\ &= -\frac{\hbar^2 e^2}{4m_0^2 c^2} \int_0^\infty \frac{1}{2} \frac{d}{dr} (R^2) dr = +\frac{\hbar^2 e^2}{8m_0^2 c^2} R^2(0) \quad (R(\infty)=0) \end{aligned}$$

Veja que $R_{nl}(0) \neq 0$ apenas quando $l=0 \Rightarrow$ só orbitais s são afetados.
Dessa forma, o termo de Darwin pode ser re-escrito como

$$W_D = -\frac{\hbar^2 e^2}{8m_0^2 c^2} \nabla^2 \left(\frac{1}{r} \right) = \frac{\hbar^2 e^2 \pi}{2m_0^2 c^2} \delta(\vec{r})$$

ou

$$\begin{aligned} \int \Psi^* W_D \Psi d^3r &= \frac{\hbar^2 e^2 \pi}{2m_0^2 c^2} |\Psi(0)|^2 = \frac{\hbar^2 \pi e^2}{2m_0^2 c^2} |Y_{lm}(0,0)|^2 R_{nl}^2(0) \\ &\quad \downarrow \quad \downarrow \\ &\quad \frac{1}{2} \sqrt{\frac{2l+1}{\pi}} \delta_{m0} \quad R_{n0}^2(0) \delta_{l0} \end{aligned}$$
$$= \frac{\hbar^2 e^2}{8m_0^2 c^2} R_{n0}^2(0) \delta_{m0} \delta_{l0}$$

$$\Rightarrow W_D = \frac{\hbar^2 e^2}{8m_0^2 c^2} \nabla^2 V = \frac{\hbar^2 e^2 \pi}{2m_0^2 c^2} \delta(\vec{r}) \quad P1$$

o potencial de Coulomb.

Veja Condon - Shortley -
The theory of Atomic Spectra, pg. 130

OBS 1: Re-escrevendo

(7b)

$$i\hbar \frac{\partial \Psi}{\partial t} = [c\vec{\alpha} \cdot \vec{p} + \beta m_0 c^2] \Psi = [-i\hbar c \vec{\alpha} \cdot \nabla + \beta m_0 c^2] \Psi$$

$$i\hbar \frac{\partial \Psi}{\partial (ct)} + i\hbar \vec{\alpha} \cdot \nabla \Psi - \beta m_0 c \Psi = 0$$

$$x^0 = ct, \quad x^1 = x, \quad x^2 = y, \quad x^3 = z$$

$$\frac{\partial}{\partial x^0} = \partial_0, \quad \frac{\partial}{\partial x^i} = \partial_i, \quad \text{etc} \quad \text{e multiplicando}$$

$$\text{tudo por } \beta \quad (\beta^2 = 1),$$

$$i\hbar \left[\beta \partial_0 + \beta \alpha_x \partial_1 + \beta \alpha_y \partial_2 + \beta \alpha_z \partial_3 \right] \Psi - m_0 c \Psi = 0$$

$$\gamma^0 \equiv \beta$$

$$\gamma^1 \equiv \beta \alpha_x$$

$$\gamma^2 \equiv \beta \alpha_y$$

$$\gamma^3 \equiv \beta \alpha_z$$

$$i\hbar \gamma^\mu \partial_\mu \Psi - m_0 c \Psi = 0$$

Em alguns livros usa-se a notação $\gamma^\mu \partial_\mu = \not{\partial}$ e

A equação fica $(i\hbar \not{\partial} - m_0 c) \Psi = 0$.

OBS. 2

Em 1-D

$$i\hbar \frac{\partial \Psi}{\partial t} = \left(-i\hbar \sigma_1 \frac{\partial}{\partial x} + m_0 c^2 \sigma_0 \right) \Psi$$

$$\sigma_1 = \begin{pmatrix} 0 & 1 \\ 1 & 0 \end{pmatrix} \quad \sigma_0 = \begin{pmatrix} 1 & 0 \\ 0 & -1 \end{pmatrix}$$

Em 2-D

$$i\hbar \frac{\partial \Psi}{\partial t} = c\vec{\alpha} \cdot \vec{p} + \beta m_0 c^2$$

com α_x e α_y apenas, mas matrizes 4×4 , como no caso 3-D.

$$\gamma^0 = \begin{pmatrix} 1 & 0 & 0 & 0 \\ 0 & 1 & 0 & 0 \\ 0 & 0 & -1 & 0 \\ 0 & 0 & 0 & -1 \end{pmatrix}$$

$$\gamma^1 = \begin{pmatrix} 0 & 0 & 0 & 1 \\ 0 & 0 & 1 & 0 \\ 0 & -1 & 0 & 0 \\ -1 & 0 & 0 & 0 \end{pmatrix}$$

$$\gamma^2 = \begin{pmatrix} 0 & 0 & 0 & -i \\ 0 & 0 & i & 0 \\ 0 & i & 0 & 0 \\ -i & 0 & 0 & 0 \end{pmatrix}$$

$$\gamma^3 = \begin{pmatrix} 0 & 0 & 1 & 0 \\ 0 & 0 & 0 & -1 \\ -1 & 0 & 0 & 0 \\ 0 & 1 & 0 & 0 \end{pmatrix}$$

Algebra of Clifford

$$\{\gamma^\mu, \gamma^\nu\} = \gamma^\mu \gamma^\nu + \gamma^\nu \gamma^\mu = 2\eta^{\mu\nu} \quad ; \quad \eta^{\mu\nu} = \begin{pmatrix} 1 & 0 & 0 & 0 \\ 0 & -1 & 0 & 0 \\ 0 & 0 & -1 & 0 \\ 0 & 0 & 0 & -1 \end{pmatrix}$$

$$\gamma_\mu = \eta_{\mu\nu} \gamma^\nu$$

$$(\gamma^0)^2 = 1 \quad (\gamma^k)^2 = -1$$

$$\gamma^{\mu\dagger} = \gamma^0 \gamma^\mu \gamma^0$$

$$(i\gamma^\mu \partial_\mu - m)\psi = 0$$

$$\psi^\dagger (i\overleftarrow{\partial}_\mu \gamma^{\mu\dagger} + m) = 0$$

$$\psi^\dagger [i\overleftarrow{\partial}_\mu \gamma^0 \gamma^\mu \gamma^0 + m] = 0$$

↓

$$\psi^\dagger [i\overleftarrow{\partial}_\mu \gamma^0 \gamma^\mu + m\gamma^0] = 0$$

$$\bar{\Psi} = \Psi^\dagger \gamma^0$$

$$\Psi^\dagger \gamma^0 (i \gamma^\mu \vec{\partial}_\mu - m) \Psi + \Psi^\dagger (i \overleftarrow{\partial}_\mu \gamma^0 \gamma^\mu + \gamma^0 m) \Psi = 0$$

$$\bar{\Psi} \gamma^\mu \vec{\partial}_\mu \Psi + \bar{\Psi} \overleftarrow{\partial}_\mu \gamma^\mu \Psi = 0$$

$$\partial_\mu \underbrace{(\bar{\Psi} \gamma^\mu \Psi)}_{J^\mu} = 0$$

$$J^0 = \bar{\Psi} \gamma^0 \Psi = \Psi^\dagger \Psi$$

$$J^k = \bar{\Psi} \gamma^k \Psi = \Psi^\dagger \gamma^0 \gamma^k \Psi = \Psi^\dagger \alpha^k \Psi$$

$$\frac{1}{c} \frac{\partial}{\partial t} (\Psi^\dagger \Psi) = \text{Div.} (\Psi^\dagger \vec{\alpha} \Psi)$$

1) W_{mv}

$$E = \sqrt{p^2 c^2 + m_0^2 c^4} \quad e$$

$$K = E - m_0 c^2 = \text{energia cinética}$$

PARA $m_0 c^2 \gg pc$ $K \approx m_0 c^2 + \frac{p^2}{2m_0} - \frac{p^4}{8m_0^3 c^2} - m_0 c^2 = \frac{p^2}{2m_0} - \frac{p^4}{8m_0^3 c^2}$

\uparrow
 W_{mv}

$$\frac{W_{mv}}{H_0} \sim \frac{p^4 / 8m_0^3 c^2}{p^2 / 2m_0} = \frac{p^2}{4m_0^2 c^2} = \frac{1}{4} \left(\frac{v}{c}\right)^2$$

PARA o estado fundamental temos que $v = \frac{e^2}{\hbar}$; $a_0 = \frac{\hbar^2}{m_0 e^2}$; $E_I = \frac{m_0 e^4}{2\hbar^2}$

e $\frac{W_{mv}}{H_0} \sim \left(\frac{v}{c}\right)^2 = \frac{e^4}{\hbar^2 c^2} = \alpha^2$ onde

$$\alpha = \frac{e^2}{\hbar c} \sim \frac{1}{137} \equiv$$

constante de estrutura fina

OBS : Pelo modelo de Bohr $\frac{mv^2}{r} = \frac{e^2}{r^2}$
e $v^2 = \frac{e^2}{mr}$. Usando $r = a_0$, $v^2 = \frac{e^2 m e^2}{m \hbar^2} = \frac{e^4}{\hbar^2}$

2) W_{so}

O elétron move-se no campo eletrostático E do próton. No referencial do elétron as transf. de Lorentz mostram que aparece um campo magnético dado por $B' \approx -\frac{1}{c^2} v \times E$

O spin do elétron sente esse campo e a energia de interação é

$$W' = -\vec{M}_s \cdot \vec{B}' \quad \text{onde}$$

$$\vec{M}_s = \text{momento magnético do elétron} = \frac{q}{m} \vec{S}$$

Como $E = -\frac{1}{q} \nabla V = -\frac{1}{q} \frac{dV}{dr} \frac{r}{r}$

$$\vec{B}' = \frac{1}{qc^2} \frac{dV}{dr} \frac{1}{r} \vec{v} \times \vec{r} = -\frac{1}{m_0 qc^2} \frac{dV}{dr} \frac{1}{r} \vec{L}$$

$$W' = + \frac{1}{m_0^2 c^2} \frac{1}{r} \frac{dV}{dr} \vec{L} \cdot \vec{S} = \frac{e^2}{m_0^2 c^2} \frac{1}{r^3} \vec{L} \cdot \vec{S}$$

↑ note que o fator 1/2
NÃO aparece!

$$qE = qF = -\nabla V \quad (9)$$

$$V = -\frac{e^2}{r} \quad \frac{dV}{dr} = \frac{e^2}{r^2}$$

$$\phi = \frac{e}{r}$$

$$\frac{W_{so}}{H_0} \sim \frac{\frac{e^2}{m_0^2 c^2 a_0} \hbar^2}{\frac{e^2}{a_0}} = \frac{\hbar^2}{m_0^2 c^2 a_0^2} = \frac{e^4}{c^2 \hbar^2} = \alpha^2$$

3) W_D

O potencial eletrostático satisfaz a equação $\nabla^2 \phi = -\rho/\epsilon_0$.

Para uma carga pontual na origem, $\rho = q \delta(r)$ e sabemos que $\phi = \frac{q}{4\pi\epsilon_0 r}$.

Portanto,

$$\nabla^2 \left(\frac{1}{r} \right) = -4\pi \delta(r) \quad \text{Então,}$$

$$W_D = -\frac{\hbar^2 e^2}{8m_0^2 c^2} \nabla^2 \left(\frac{1}{R} \right) = \frac{\hbar^2 e^2 \pi}{2m_0^2 c^2} \delta(r)$$

No estado fundamental podemos escrever

$$\langle W_D \rangle = \int \Psi_{100}^*(r) W_D \Psi_{100}(r) d^3r = \frac{\hbar^2 e^2 \pi}{2m_0^2 c^2} |\Psi_{100}(0)|^2 \approx \frac{\hbar^2 e^2 \pi}{2m_0^2 c^2} \frac{1}{a_0^3}$$

$$= m_0 c^2 \frac{\pi}{2} \alpha^4$$

como $H_0 \sim \frac{e^2}{a_0} = m_0 c^2 \alpha^2$

$$\frac{\langle W_D \rangle}{H_0} \sim \alpha^2$$

OBS. Note que $\Psi_{n \neq 0}(0) \neq 0$ só
se $l=0$

OBS - Na equação de Dirac a interação do e^- com o próton é local. A interação do e^- em r é $V(r)$. Na aproximação não relativística também aparecem correções não-locais, de ordem $\lambda_c = \hbar/mc$. Então

$$V(\vec{r}) \rightarrow \int f(|\vec{p}|) V(\vec{r} + \vec{p}) d^3p \quad ; \quad V(\vec{r}) = \frac{-e^2}{r}$$

$$\text{com } \int f(|\vec{p}|) d^3p = 1$$

Se $f(|\vec{p}|) = \delta(|\vec{p}|)$ temos $V(\vec{r})$ a volta. A part. p. do

fora

$$\int f(|\vec{p}|) V(\vec{r} + \vec{p}) d^3p = V(\vec{r}) + \underbrace{\int f(\vec{p}) \vec{p} V'(|r|) d^3p}_{=0} + \frac{1}{2} V'' \int p^2 f(p)$$

$$\approx V(\vec{r}) + \alpha \nabla^2 V \lambda_c^3$$

$$\approx V(\vec{r}) + \frac{\hbar^2}{m^2 c^2} \nabla^2 V$$

$$\nabla \cdot \mathbf{E} = \rho / \epsilon_0 \quad \rho = +e \delta(|r|) \quad \mathbf{E} = -\nabla \phi$$

$$\nabla^2 \phi = \frac{-e}{\epsilon_0} \delta(|r|) \quad \phi = \frac{+e}{4\pi \epsilon_0 R}$$

$$\nabla^2 \left(\frac{1}{r} \right) = -4\pi \delta(|r|)$$

Os termos de estrutura hiperfina

o próton, além de produzir seu campo eletrostatico e induzir um campo magnetico B' , também tem spin, que funciona como um pequeno campo magnetico que vai também interagir com o spin do elétron. Podemos calcular esses termos introduzindo esse pequeno campo magnetico extra na eq. de Schrödinger. Como o campo é mesmo muito fraco não é necessario tratar a eq. de Dirac.

o momento magnetico do próton é

$$\vec{M}_I = \frac{g_p \mu_N \vec{I}}{\hbar} = \frac{g_p}{M_p} \left(\frac{g_p}{2} \right) \vec{I}$$

g_p = fator g magnetico do próton ≈ 5.6

μ_N = magneton de Bohr = $\frac{q \hbar}{2 M_p}$

\vec{I} = spin do próton

o potencial vetor produzido por um momento magnetico (que classicamente vem de uma distribuicao localizada de corrente) é

$$\vec{A}_I = \frac{\mu_0}{4\pi} \frac{\vec{M}_I \times \vec{r}}{r^3}$$

e a Hamiltoniana do elétron fica

$$H = \frac{1}{2m_e} \left[\vec{p} - q \vec{A}_I \right]^2 + q U(r) - \underbrace{\frac{2 \mu_B}{\hbar} \vec{S} \cdot (\nabla \times \vec{A}_I)}_{\vec{M}_S = \text{mom. mag. do elétron}}$$

$$H \approx \left[\frac{P^2}{2m_e} + q U(R) \right] - \frac{q}{2m_e} (\mathbb{P} \cdot \mathbb{A}_{\mathbb{I}} + \mathbb{A}_{\mathbb{I}} \cdot \mathbb{P}) - \vec{M}_S \cdot (\nabla \times \vec{A}_{\mathbb{I}})$$

Como $\nabla \cdot \vec{A}_{\mathbb{I}} = 0$, $[P, A_{\mathbb{I}}] = 0$ e podemos escrever

$$\begin{aligned} -\frac{q}{2m_e} (\mathbb{P} \cdot \mathbb{A}_{\mathbb{I}} + \mathbb{A}_{\mathbb{I}} \cdot \mathbb{P}) &= -\frac{q}{m_e} \mathbb{P} \cdot (\vec{M}_{\mathbb{I}} \times \mathbb{R}) \frac{\mu_0}{4\pi R^3} \\ &= -\frac{q \mu_0}{4\pi m_e R^3} \vec{M}_{\mathbb{I}} \cdot (\mathbb{R} \times \mathbb{P}) = -\frac{\mu_0 q}{4\pi m_e} \frac{1}{R^3} \vec{M}_{\mathbb{I}} \cdot \vec{L} \end{aligned}$$

Também

$$\begin{aligned} \vec{M}_S \cdot (\nabla \times \vec{A}_{\mathbb{I}}) &= M_{Si} \epsilon_{ijk} \partial_j \left[\frac{\mu_0}{4\pi} \epsilon_{klm} M_{Il} \frac{r_m}{r^3} \right] \\ &= \frac{\mu_0}{4\pi} M_{Si} M_{Il} * \partial_j \left[\delta_{im} \delta_{jl} - \delta_{il} \delta_{jm} \right] \frac{r_m}{r^3} \\ &= \frac{\mu_0}{4\pi} M_{Si} M_{Ij} \partial_j \left(\frac{r_i}{r^3} \right) - \frac{\mu_0}{4\pi} M_{Si} M_{Ii} \partial_j \left(\frac{r_j}{r^3} \right) \end{aligned}$$

O segundo termo dá zero, pois $\sum_j \partial_j \left(\frac{r_j}{r^3} \right) = \frac{3}{r^3} - \frac{3r_j}{r^4} \frac{r_j}{r} = \frac{3}{r^3} - \frac{3r^2}{r^5} = 0$

O primeiro termo dá $\partial_j \left(\frac{r_i}{r^3} \right) = \frac{\delta_{ij}}{r^3} - \frac{3r_i r_j}{r^5}$ e

$$\vec{M}_S \cdot (\nabla \times \vec{A}_{\mathbb{I}}) = \frac{\mu_0}{4\pi} \left[\frac{\vec{M}_S \cdot \vec{M}_{\mathbb{I}}}{r^3} - \frac{3(\vec{M}_S \cdot \hat{r})(\vec{M}_{\mathbb{I}} \cdot \hat{r})}{r^3} \right]$$

A conexão hiperfina total fica:

$$W_{hf} = -\frac{\mu_0}{4\pi} \left\{ \frac{q}{m_e R^3} \vec{L} \cdot \vec{M}_{\mathbb{I}} + \frac{1}{R^3} \left[\vec{M}_S \cdot \vec{M}_{\mathbb{I}} - 3(\vec{M}_{\mathbb{I}} \cdot \hat{r})(\vec{M}_S \cdot \hat{r}) \right] + \frac{8\pi}{3} \vec{M}_S \cdot \vec{M}_{\mathbb{I}} \delta(R) \right\}$$

OBS. VEJA O COMPLEMENTO A_{ext} DO COHEN PARA UMA DERIVAÇÃO DO ÚLTIMO TERMO

EFEITO DOS TERMOS DE ESTRUTURA FINA em $n=2$

Como veremos abaixo, W_S não remove degenerências dos estados $1s$ ($n=1, l=0$)

Assim, trataremos primeiro o caso $n=2$, $2s$ e $2p$.

A energia não perturbada é dada por $E_2 = -\frac{E_1}{4} = -\frac{\mu c^2}{8\hbar^2} = -\frac{1}{8} \mu c^2 \alpha^2$

onde $\alpha = e^2/\hbar c$; $\mu =$ massa reduzida. Em 1ª ordem a correção δW_f é dada pelos auto-valores da matriz δW_f nos sub-espaços degenerados.

Degenerências do nível 2

Basi $(n, l, s, i, m_l, m_s, m_i) \rightarrow$

$$\rightarrow \begin{cases} |2, 0, s=1/2, i=1/2; 0, \pm 1/2, \pm 1/2\rangle \Rightarrow g=4 \\ |2, 1, s=1/2, i=1/2; m_l=-1, 0, 1, \pm 1/2, \pm 1/2\rangle \Rightarrow g=12 \end{cases}$$

$\Rightarrow g_{n=2} = 16$

Como W_f não envolve o spin do próton, podemos tomar $g=8$ e no final multiplicar as deg. por 2.

1) $[W_f, L^2] = 0$

(a) $[L^2, P^2] = 0 \Rightarrow [L^2, P^4] = 0$; $[L, P^2] = [L, P^4] = 0$

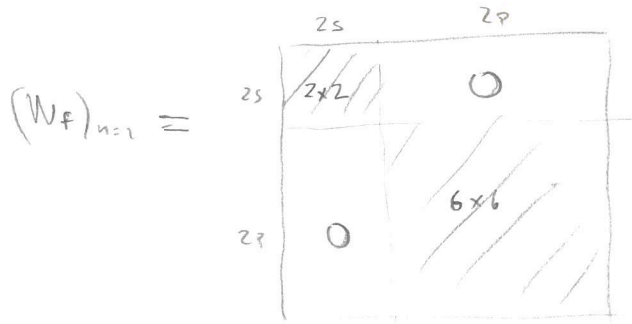
(b) $[L^2, P] = 0$ e $[L, L] = [L, S] = 0$, ASSIM

$[L^2, W_{so}] = [L^2, W_{mir}] = [L^2, W_0] = 0$

Assim,

$$\langle n l s m_l m_s | W_f | n l' s' m_l' m_s' \rangle = 0 \text{ se } l \neq l'$$

e ficamos com



MATRIZ NO SUB-ESPACO 2s (notação $|n l s m_l m_s\rangle$)

(a) $W_{SO} :$ $\langle 2 0 \ 1/2 \ 0 \ \pm 1/2 | f(R) L \cdot S | 2 0 \ 1/2 \ 0 \ \pm 1/2 \rangle = 0$
 pois os termos em L_x e $L_y \rightarrow L_+$ e L_- e $L_z \sim m_l$ com $m_l = 0$.

(b) $W_{ms} :$ $-\frac{1}{8\mu^3 c^2} \langle \pm 1/2 | \mathbb{H}^4 | \pm 1/2 \rangle$

$$H_0 = \frac{p^2}{2\mu} + V(r) = \frac{p^2}{2\mu} - \frac{e^2}{r} \Rightarrow \mathbb{H}^2 = 2\mu (H_0 + \frac{e^2}{r})$$

$$\mathbb{H}^4 = 4\mu^2 \left[H_0^2 + H_0 \frac{e^2}{r} + \frac{e^2}{r} H_0 + \frac{e^4}{r^2} \right] \Rightarrow \boxed{(W_{ms}) \text{ vai ser diagonal em } 2s}$$

(c) $W_D :$ $\frac{4\pi e^2 \hbar^2}{8\mu^2 c^2} \langle \pm 1/2 | S(R) | \pm 1/2 \rangle = \frac{4\pi e^2 \hbar^2}{8\mu^2 c^2} |\psi(0)|^2 \Rightarrow \boxed{(W_D) \text{ t.b. vai ser diagonal em } 2s}$

Temos que

$$\Psi_{2,0,0,1/2,1/2} = Y_0^0 R_{2,0} | \pm \rangle$$

$$R_{2,0}(r) = 2(2a_0)^{-3/2} \left(1 - \frac{r}{2a_0}\right) e^{-r/2a_0}$$

Como as integrais angulares são normalizadas, temos que calcular integrais do tipo

$$\int_0^\infty r^4 r^2 |R_{2,0}|^2 dr ; \quad q \gg -2$$

que vão se reduzir a integrais como

$$I(k,p) \equiv \int_0^\infty r^k e^{-pr/a_0} dr ; \quad k \gg 0 \quad \text{fazendo } u = r^k, \quad du = k r^{k-1} dr$$

$$dv = e^{-pr/a_0} dr, \quad v = -\frac{a_0}{p} e^{-pr/a_0}$$

$$= -\frac{a_0}{p} r^k e^{-pr/a_0} \Big|_0^\infty + \frac{a_0 k}{p} \int_0^\infty r^{k-1} e^{-pr/a_0} dr = \frac{a_0 k}{p} I(k-1, p)$$

$$= \left(\frac{a_0 k}{p}\right) \left(\frac{a_0 (k-1)}{p}\right) I(k-2, p) \quad \text{etc.}$$

Como $I(0,p) = a_0/p$

$$I(k,p) = \left(\frac{a_0}{p}\right)^{k+1} k!$$

Vamos usar $E_n = -\frac{E_I}{n^2} = -\frac{\mu c^2 \alpha^2}{2n^2}$, pois $E_I = \frac{e^2}{2a_0} = \frac{\mu e^4}{2\hbar^2} = \frac{\mu c^2}{2} \left(\frac{e^2}{\hbar c}\right)^2$

$$(W_{ms})_{l=0} = \frac{-4\mu^2}{8\mu^3 c^2} \langle 20\frac{1}{2}, 0 \pm 1/2 | H_0 + \frac{e^2}{R} H_0 + H_0 \frac{e^2}{R} + \frac{e^4}{R^2} | 20\frac{1}{2}, 0 \pm 1/2 \rangle$$

$$= \frac{-4\mu^2}{8\mu^3 c^2} \left[\left(-\frac{1}{8} \mu c^2 \alpha^2 \right)^2 + 2e^2 \left(-\frac{1}{8} \mu c^2 \alpha^2 \right) \langle \frac{1}{R} \rangle + e^4 \langle \frac{1}{R^2} \rangle \right] \text{DIAGONAL}$$

$$\langle \frac{1}{R} \rangle = \int \frac{r^2}{r} \left(\frac{4}{(2a_0)^3} \right) e^{-r/a_0} \left(1 - \frac{r}{a_0} + \frac{r^2}{4a_0^2} \right) dr$$

$$= \frac{4}{8a_0^3} \left[I(1,1) - \frac{1}{a_0} I(2,1) + \frac{1}{4a_0^2} I(3,1) \right]$$

$$= \frac{1}{2a_0^3} \left(a_0^2 - \frac{2e_0^3}{a_0} + \frac{6a_0^4}{4a_0^2} \right) = \frac{1}{4a_0}$$

$$\langle \frac{1}{R^2} \rangle = \frac{1}{2a_0^3} \left(I(0,1) - \frac{1}{a_0} I(1,1) + \frac{1}{4a_0^2} I(2,1) \right)$$

$$= \frac{1}{2a_0^3} \left[a_0 - \frac{a_0^2}{a_0} + \frac{2e_0^3}{4a_0^2} \right] = \frac{1}{4a_0^2}$$

$$(W_{ms})_{l=0} = -\frac{1}{2\mu c^2} \left[\frac{\mu^2 c^4 \alpha^4}{64} - \frac{e^2 \mu c^2 \alpha^2}{16a_0} + \frac{e^4}{4a_0^2} \right]$$

$$= -\frac{1}{2\mu c^2} \left[\frac{\mu^2 c^4 \alpha^4}{64} - \frac{\mu^2 \alpha^4 c^4}{16} + \frac{\mu^2 \alpha^4 c^4}{4} \right]$$

$$= -\frac{\mu c^2 \alpha^4}{128} (1 - 4 + 16) = -\frac{13}{128} \mu c^2 \alpha^4 //$$

$$a_0 = \frac{\hbar^2}{\mu e^2} = \frac{\hbar^2 c^2}{\mu e^2 c^2} = \frac{e^2}{\mu \alpha^2 c^2}$$

$$(W_D)_{l=0} = \frac{4\pi \hbar^2 e^2}{8\mu^2 c^2} \cdot \left[\frac{1}{4\pi} \cdot \frac{4}{8a_0^3} \right] = \frac{\hbar^2 e^2}{16\mu^2 c^2 a_0^3} = \frac{\hbar^2 \mu^3 \alpha^6 c^6 e^2}{16\mu^2 c^2 e^6} \quad (16)$$

$$= \frac{c^2 \mu^4}{16} = \frac{8c^2 \mu^4}{128} \Rightarrow (W_f)_{l=0} = -\frac{5}{128} \mu c^2 \alpha^4$$

MATM2 NO SUB-ESPADO 2P

$$R_{21} = (2a_0)^{-3/2} (3)^{-1/2} \frac{r}{a_0} e^{-r/2a_0}$$

$$\Rightarrow 1) (W_D)_{l=1} = 0$$

$$\Rightarrow 2) (W_{nr})_{l=1} = -\frac{1}{2\mu c^2} \left[\frac{\mu^2 c^4 \alpha^4}{64} - \frac{\mu c^2 \alpha^2}{4} \left\langle \frac{1}{r} \right\rangle + e^4 \left\langle \frac{1}{r^2} \right\rangle \right] \text{DIAGONAL en } n, n'$$

$$\left\langle \frac{1}{r} \right\rangle = \int_0^\infty \frac{r^2}{r} \left[\frac{1}{8a_0^3} \cdot \frac{1}{3} \cdot \frac{r^2}{a_0^2} e^{-r/a_0} \right] dr = \frac{1}{24a_0^5} \int_0^\infty r^3 e^{-r/a_0} dr = \frac{a_0^4 \cdot 6}{24a_0^5}$$

$$= \frac{1}{4a_0}$$

$$\left\langle \frac{1}{r^2} \right\rangle = \frac{1}{24a_0^5} \int_0^\infty r^2 e^{-r/a_0} dr = \frac{a_0^3 \cdot 2}{24a_0^5} = \frac{1}{12a_0^2}$$

$$(W_{nr})_{l=1} = -\frac{1}{2\mu c^2} \left[\frac{\mu^2 c^4 \alpha^4}{64} - \frac{\mu c^2 \alpha^2}{16} + \frac{\mu c^4 \alpha^4}{12} \right] = -\frac{\mu c^2 \alpha^4}{384} (3 - 12 + 16)$$

$$= -\frac{7}{384} \mu c^2 \alpha^4$$

$\frac{128}{36}$

$\Rightarrow 3) (W_{50})_{l=1} ; W_{50} = \frac{1}{2\mu^2 c^2} \frac{1}{R} \frac{\partial V}{\partial r} \mathbb{L} \cdot \mathbb{S} = \frac{e^2}{2\mu^2 c^2} \frac{1}{R^3} \mathbb{L} \cdot \mathbb{S}$
 $= \mathbb{F}(R) \mathbb{L} \cdot \mathbb{S}$

O valor médio da parte radial é

$$\begin{aligned} \bar{F}_{2p} &= \frac{e^2}{2\mu^2 c^2} \cdot \frac{1}{8a_0^3} \cdot \frac{1}{3a_0^3} \int_0^\infty r^2 e^{-r/a_0} \frac{r^2 dr}{r^3} \\ &= \frac{e^2}{48\mu^2 c^2 a_0^3} = \frac{\mu c^2 \alpha^4}{48 \hbar^2} \end{aligned}$$

$\int_0^\infty r^2 e^{-r/a_0} \frac{r^2 dr}{r^3} = I(1,1) = a_0^2$

A parte de $\mathbb{L} \cdot \mathbb{S}$ é mais fácil de calcular na base J^2, J_3 :

Em vez de usar

$$|n=2, l=1, s=1/2; m, m_s\rangle \longrightarrow |n=2, l=1, s=1/2; J, m\rangle$$

Como $l=1, s=1/2 \rightarrow$

$J=1/2$	$m = \pm 1/2$
ou	
$J=3/2$	$m = \pm 3/2, \pm 1/2$

$$\mathbb{J} = \mathbb{L} + \mathbb{S} \rightarrow \mathbb{J}^2 = \mathbb{L}^2 + \mathbb{S}^2 + 2\mathbb{L} \cdot \mathbb{S} \rightarrow \mathbb{L} \cdot \mathbb{S} = \frac{1}{2} (\mathbb{J}^2 - \mathbb{L}^2 - \mathbb{S}^2)$$

que é diagonal nessa base! Todo o resto do cálculo não é afetado, pois não depende de spin ou \mathbb{L} . Podemos pensar que todo o cálculo foi feito na base $|n, l, s, J, m\rangle$.

Assim, para $J = 1/2$, $M = \pm 1/2$

$$\langle L \cdot S \rangle = \frac{\hbar^2}{2} \left[\frac{1}{2}(\frac{1}{2}+1) - 1(1+1) - \frac{1}{2}(\frac{1}{2}+1) \right] = -\hbar^2$$

Para $J = 3/2$, $M = \pm 1/2, \pm 3/2$

$$\langle L \cdot S \rangle = \frac{\hbar^2}{2} \left[\frac{3}{2}(\frac{3}{2}+1) - 1(1+1) - \frac{1}{2}(\frac{1}{2}+1) \right] = \hbar^2/2$$

$$(W_{SO})_{2P (J=1/2)} = -\frac{\mu c^2 \alpha^4}{48} = -\frac{8 \mu c^2 \alpha^4}{384}$$

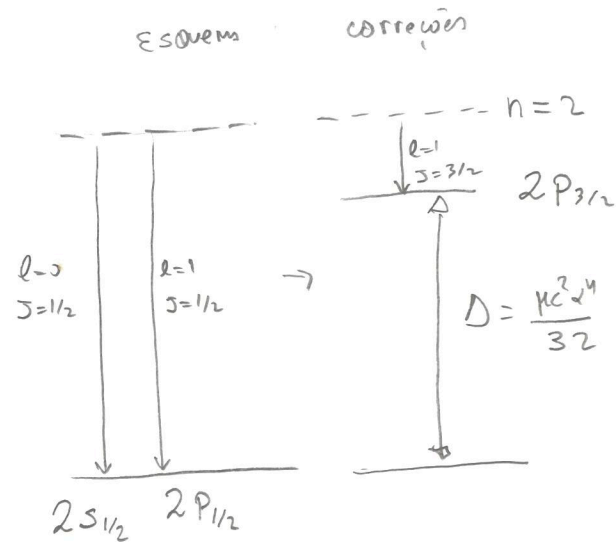
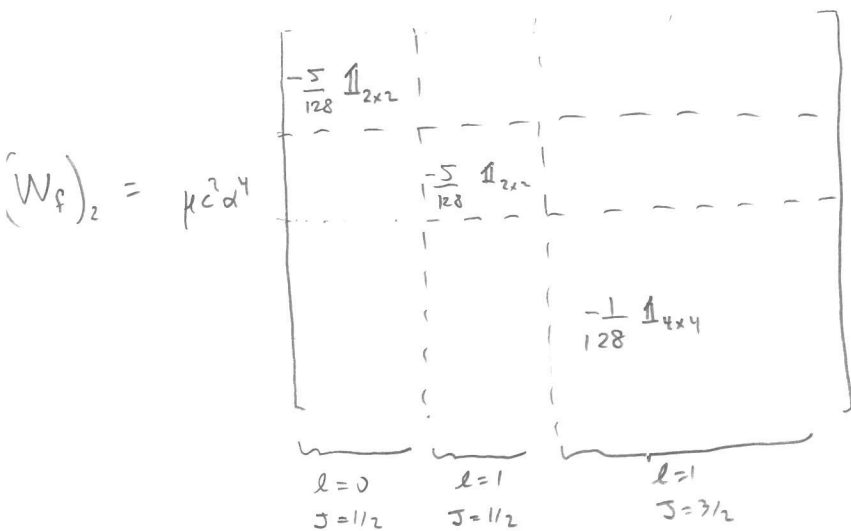
$$(W_{SO})_{2P (J=3/2)} = \frac{\mu c^2 \alpha^4}{96} = \frac{4 \mu c^2 \alpha^4}{384}$$

Então temos:

$$(W_f)_{2S} = (W_{mv})_{2S} + (W_D)_{2S} = \frac{-13}{128} \mu c^2 \alpha^4 + \frac{8}{128} \mu c^2 \alpha^4 = -\frac{5}{128} \mu c^2 \alpha^4$$

$$(W_f)_{2P (J=1/2)} = (W_{mv}) + (W_{SO}) = \frac{-7}{384} \mu c^2 \alpha^4 - \frac{8}{384} \mu c^2 \alpha^4 = \frac{-15}{384} \mu c^2 \alpha^4 = -\frac{5}{128} \mu c^2 \alpha^4$$

$$(W_f)_{2P (J=3/2)} = (W_{mv}) + (W_{SO}) = \frac{-7}{384} \mu c^2 \alpha^4 + \frac{4}{384} \mu c^2 \alpha^4 = \frac{-3}{384} \mu c^2 \alpha^4 = -\frac{1}{128} \mu c^2 \alpha^4$$



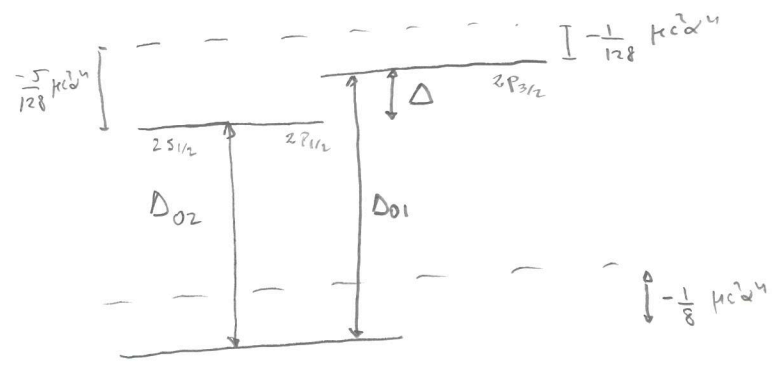
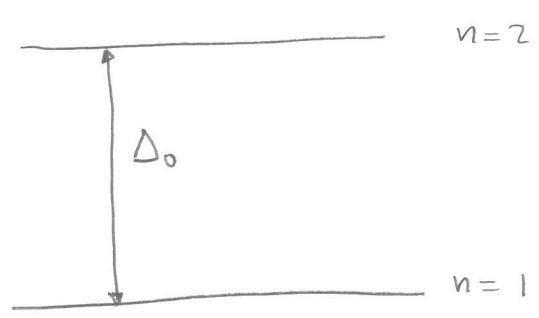
NOTAÇÃO espectroscópica $n l_J$

Para o nível 1s os termos de correção também podem ser calculados e o resultado é

$$\langle W_f \rangle_{n=1} = -\frac{\mu c^2 \alpha^4}{8}$$

NÃO há quebra de degenerência, pois $\langle W_{so} \rangle_{n=1} = 0$.

o esquema completo do níveis $n=1$ e $n=2$ fica



Para $H = H_0$ a única transição é Δ_0

Para $H = H_0 + W_f$ temos $\Delta, \Delta_{02}, \Delta_{01}$

Valores numéricos

$$\Delta_0 = 10.204 \text{ eV}, \quad \nu = \Delta_0/h = 2,462 \cdot 10^{15} \text{ Hz}, \quad \lambda = \frac{c}{\nu} = 1218 \text{ \AA}$$

$$\Delta_{01} = \left(E_2 - \frac{\mu c^2 \alpha^4}{128} \right) - \left(E_1 - \frac{\mu c^2 \alpha^4}{8} \right) = \Delta_0 + \frac{15 \mu c^2 \alpha^4}{128} = (10.204 + 1.7 \times 10^{-4}) \text{ eV}$$

$$\Delta_{02} = \left(E_2 - \frac{5 \mu c^2 \alpha^4}{128} \right) - \left(E_1 - \frac{\mu c^2 \alpha^4}{8} \right) = \Delta_0 + \frac{11 \mu c^2 \alpha^4}{128} = (10.204 + 1.2 \times 10^{-4}) \text{ eV}$$

$$\Delta = \frac{1}{32} \mu c^2 \alpha^4 \approx 4.5 \times 10^{-5} \text{ eV}$$

$$\lambda_0 = 1216 \text{ \AA} \quad , \quad \nu_0 = 2,462 \times 10^{15} \text{ Hz}$$

$$\lambda_{01} = (1216 - 0.02) \text{ \AA}$$

$$\lambda_{02} = (1216 - 0.014) \text{ \AA}$$

$$\lambda = 2,74 \text{ cm} \quad , \quad \nu = 1.09 \times 10^{10} \text{ Hz}$$

$$W_{hf} = \frac{-\mu_0}{4\pi} \left\{ \frac{q}{m_e R^3} \mathbb{L} \cdot \vec{M}_I + \frac{1}{R^3} \left[\vec{M}_s \cdot \vec{M}_I - 3(\vec{M}_s \cdot \hat{r})(\vec{M}_I \cdot \hat{r}) \right] + \frac{8\pi}{3} \vec{M}_s \cdot \vec{M}_I \delta(R) \right\}$$

Nível $n=1$

- como $l=m=0$, o termo $\mathbb{L} \cdot \vec{M}_I$ NÃO contribui
- mostraremos a seguir que o segundo termo, de interação dipolo-dipolo, t.b. NÃO contribui

$$\Psi_{100}(r) = \frac{1}{\sqrt{4\pi}} \frac{2}{(a_0)^{3/2}} e^{-r/a_0} ; \quad a_0 = \frac{\hbar^2}{\mu e^2} ; \quad \alpha = \frac{e^2}{\hbar c}$$

$$\mu = \frac{m_e m_p}{m_e + m_p} \approx m_e \left(1 - \frac{m_e}{m_p}\right)$$

- Agora o spin do próton é importante e a degenerescência do estado NÃO perturbado é 4.

$$\vec{M}_I = \frac{g_p q}{2 m_p} \vec{I} ; \quad \vec{M}_s = -\frac{g_s}{m_e} \vec{S} ; \quad q = e\sqrt{4\pi\epsilon_0} ; \quad e = \frac{1}{\sqrt{4\pi\epsilon_0}}$$

$$\langle n=1, l=m=0, m_s^i, m_I^i | -\frac{2\mu_0}{3} \vec{M}_I \cdot \vec{M}_s \delta(r) | n=1, l=m=0, m_s, m_I \rangle$$

$$= -\frac{2}{3} \mu_0 \left(-\frac{g_p q}{2 m_p m_e} e^2 4\pi\epsilon_0 \right) \frac{1}{4\pi} \frac{4}{a_0^3} \langle m_s^i, m_I^i | \vec{I} \cdot \vec{S} | m_s, m_I \rangle$$

$$= \frac{4}{3} c^2 \frac{e^2 g_p}{M_p m_e} \frac{\mu^3 e^6}{h^6} \langle m_s' m_I' | \vec{I} \cdot \vec{S} | m_s m_I \rangle$$

$$= \frac{4 c^2 g_p}{3 M_p m_e} \frac{\alpha^4 m_e^3 (1 - \frac{m_e}{M_p})^3}{h^2} \langle m_s' m_I' | \vec{I} \cdot \vec{S} | m_s m_I \rangle \equiv A \langle m_s' m_I' | \vec{I} \cdot \vec{S} | m_s m_I \rangle$$

Veja que a ordem de grandeza desta correção é

$$\frac{4}{3} m_e c^2 \left(\frac{m_e}{M_p} \right) g_p \alpha^4 \sim (m_e c^2) \alpha^4 \left(\frac{m_e}{M_p} \right)$$

$$\Rightarrow \frac{W_{hf}}{E_0} \sim \alpha^2 \left(\frac{m_e}{M_p} \right)$$

$$\frac{W_{hf}}{W_f} \sim \left(\frac{m_e}{M_p} \right)$$

U como $\vec{I} \cdot \vec{S}$ é agora calculado na base de auto-estados

de F^2 e F_z , onde

$$\vec{F} = \vec{I} + \vec{S}$$

é o momento angular total, pois $l=0$. Então

$$F^2 = I^2 + S^2 + 2 \cdot \vec{I} \cdot \vec{S}, \text{ em}$$

$$S \cdot \Pi = \frac{1}{2} (\mathbb{F}^2 - S^2 - \Pi^2)$$

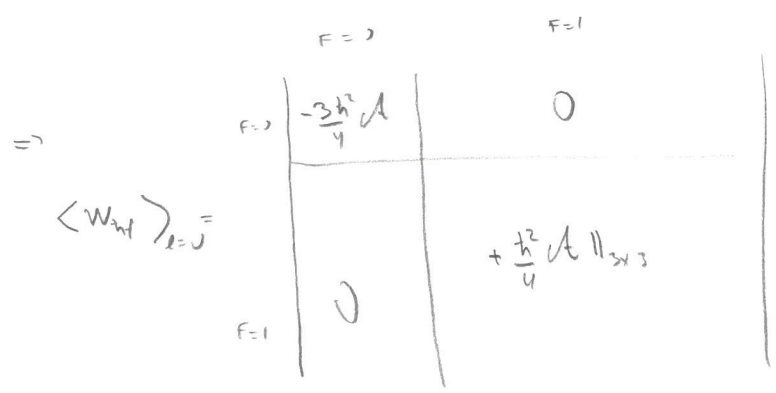
Como $s = 1/2$, $i = 1/2$ tenemos

$$F = 0, M_f = 0$$

$$F = 1, M_f = -1, 0, 1$$

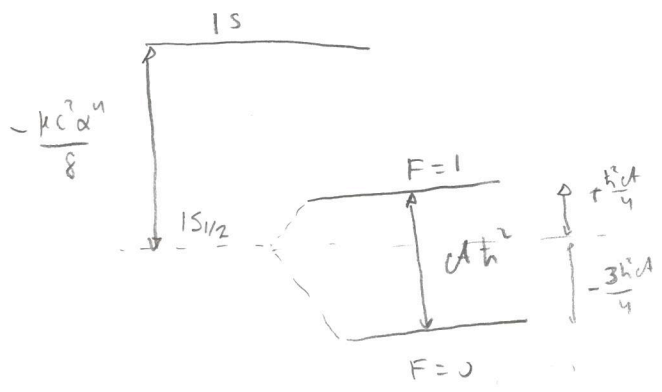
$\langle S \cdot \Pi \rangle = \frac{\hbar^2}{2} \left[0 - \frac{1}{2} \left(\frac{1}{2} + \frac{1}{2} \right) - \frac{1}{2} \left(1 + \frac{1}{2} \right) \right] = -\frac{3\hbar^2}{4}$

 $\langle S \cdot \Pi \rangle = \frac{\hbar^2}{2} \left[1(1+1) - \frac{3}{4} - \frac{3}{4} \right] = \frac{\hbar^2}{2} \left(2 - \frac{3}{2} \right) = \hbar^2/4$



\Rightarrow $F=0 \quad \Delta E = -\frac{\mu c^2 \alpha^4}{8} - \frac{3\hbar^2}{4} \mathcal{A}$

$F=1 \quad \Delta E = -\frac{\mu c^2 \alpha^4}{8} + \frac{\hbar^2}{4} \mathcal{A}$



← ESTADOS FUND. NO DEGENERADOS!

Contribuição dos termos dipolo-dipolo

$$D = \frac{3}{R^3} (\vec{M}_s \cdot \vec{n}) (\vec{M}_I \cdot \vec{n}) - \vec{M}_s \cdot \vec{M}_I = \frac{\alpha \beta}{R^3} \left[3(\vec{s} \cdot \vec{n}) (\vec{I} \cdot \vec{n}) - \vec{s} \cdot \vec{I} \right]$$

onde $\vec{M}_s = \alpha \vec{s}$ e $\vec{M}_I = \beta \vec{I}$.

$$D = \frac{\alpha \beta}{R^3} \left[3(s_x \sin\theta \cos\varphi + s_y \sin\theta \sin\varphi - s_z \cos\theta) (I_x \sin\theta \cos\varphi + I_y \sin\theta \sin\varphi + I_z \cos\theta) - \vec{s} \cdot \vec{I} \right]; \quad \cos\varphi = \frac{e^{i\varphi} + e^{-i\varphi}}{2}; \quad \sin\varphi = +\frac{i}{2}(e^{-i\varphi} - e^{i\varphi})$$

$$= \frac{\alpha \beta}{R^3} \left[3\left(\frac{1}{2} s_+ \sin\theta e^{i\varphi} + \frac{1}{2} s_- \sin\theta e^{-i\varphi} + s_3 \cos\theta\right) \left(\frac{1}{2} I_+ \sin\theta e^{-i\varphi} + \frac{1}{2} I_- \sin\theta e^{i\varphi} + I_3 \cos\theta\right) - s_3 I_3 - \left(\frac{s_+ + s_-}{2}\right) \left(\frac{I_+ + I_-}{2}\right) - \left(\frac{s_+ - s_-}{2i}\right) \left(\frac{I_+ - I_-}{i}\right) \right]$$

$$= \frac{\alpha \beta}{R^3} \left[T_0 + T_0' + T_S + T_{-S} + T_I + T_{-I} \right]$$

$$T_0 = s_3 I_3 (3 \cos^2\theta - 1)$$

$$T_0' = (s_+ I_- + s_- I_+) \left(\frac{3}{4} \sin^2\theta - \frac{1}{2}\right) = -(s_+ I_- + s_- I_+) \left(\frac{3}{4} \cos^2\theta - \frac{1}{4}\right)$$

$$T_S = (s_3 I_+ + s_+ I_3) \left(\frac{3}{2} e^{-i\varphi} \sin\theta \cos\theta\right)$$

$$T_{-S} = (s_3 I_- + s_- I_3) \left(\frac{3}{2} e^{i\varphi} \sin\theta \cos\theta\right)$$

$$T_I = s_+ I_+ \frac{3}{4} \sin^2\theta e^{-2i\varphi}$$

$$T_{-I} = s_- I_- \frac{3}{4} \sin^2\theta e^{+2i\varphi}$$

$$\begin{aligned} Y_{20} &= \sqrt{\frac{5}{16\pi}} (3\cos^2\theta - 1) \\ Y_{2\pm 1} &= \mp \sqrt{\frac{15}{8\pi}} \sin\theta \cos\theta e^{\pm i\varphi} \\ Y_{2\pm 2} &= \sqrt{\frac{15}{32\pi}} \sin^2\theta e^{\pm 2i\varphi} \end{aligned}$$

\Rightarrow cada $T \sim Y_{2q}$ e p/ o estado final, $\langle \psi_{l_0 m_0} | Y_{2q} \xi(r) | \psi_{l_0 m_0} \rangle$
 $\approx \int Y_{00}^* Y_{20} Y_{00} d\Omega = Y_{00} \int Y_{20} d\Omega = 0$

Para o nível $n=2$ temos

a) $l=0$ (nível 2s)

$J = L + S = S$; $J = 1/2$ (nível 2s_{1/2})

$F = J + I$; $S = 1/2, I = 1/2 \rightarrow f = 0, m_f = 0$
 $f = 1, m_f = 1, 0, -1$

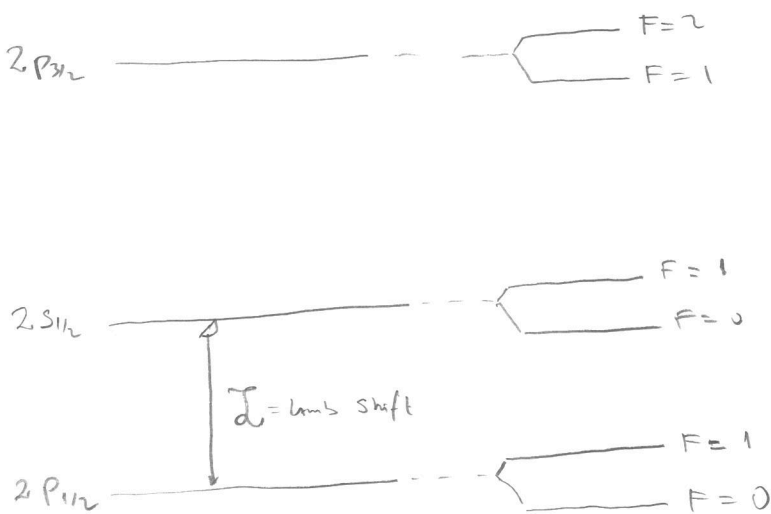
b) $l=1$ (nível 2p)

$J = L + S$; $l=1, S = 1/2 \rightarrow J = 1/2$ (2p_{1/2})
 $J = 3/2$ (2p_{3/2})

$F = J + I$; p/ $S = 1/2, I = 1/2 \rightarrow f = 1, 0$

p/ $S = 3/2, I = 1/2 \rightarrow f = 2, 1$

Os níveis 2s_{1/2} e 2p_{1/2}, degenerados com W_h acabam se separando devido ao "Lamb shift", que é uma correção devido a flutuações eletromagnéticas do vácuo. O esquema p/ $n=2$ fica



$\nu = \frac{c h}{2\pi} = 1420405751.768 \pm 0.001 \text{ Hz}$

melhor medida de Física experimental

$\lambda = \frac{c}{\nu} = 21,1 \text{ em}$ e
 corresponde a grande maioria da radiação interestelar.

$\Delta \sim \frac{1}{10} \left(\frac{hc^2 \alpha^4}{32} \right) \approx hc^2 \alpha^5$
 ↳ separação devido a W_f

EFEITO ZEEEMAN

campo mag. constante $B = B_0 \hat{z}$

(26)

- Estado $n=1, l=0, m_l=0$

$$H = H_0 + H_f + H_{hf} + W_Z$$

• H_f provoca um deslocamento global de $-\frac{1}{8} m_e c^2 \alpha^4$

• H_{hf} só o termo de contato contribui: $-\frac{2\mu_0}{3} M_s \cdot M_I \delta(\mathbf{r})$

$$W_Z = -B_0 \cdot (M_L + M_S + M_I) = \omega_0 (L_z + 2S_z) + \omega_n I_z$$

$$\omega_0 = -\frac{q B_0}{2m_e}$$

$$\omega_n = \frac{q B_0 g_F}{2M_P} \ll \omega_0$$

$$\begin{cases} M_L = \frac{q \hbar}{2m_e} \\ M_S = \frac{q}{2m_e} \cdot 2 \cdot S \\ M_I = \frac{q}{2M_P} \cdot g_F I \end{cases}$$

1) Desprezamos ω_n

2) como $l=0$ o termo em L_z não contribui

3) H_f é simples, pois só depende de \mathbf{r} e só desloca os níveis

$$\langle n=0, l=0, m=0, m_s, m_i | H_f + H_{hf} + W_Z | n=0, l=0, m=0, m_s, m_i \rangle$$

$$= -\frac{1}{8} m_e c^2 \alpha^4 \delta_{m_s m_i} \delta_{m_i m_i} + \langle m_s m_i | A I \cdot S + 2\omega_0 S_z | m_s m_i \rangle$$

Três casos

- campo fraco $\hbar \omega_0 \ll A \hbar^2$
- campo forte $\hbar \omega_0 \gg A \hbar^2$
- campo intermediário \rightarrow soluções completas

$$A = \frac{4}{3} (m_e c^2) g_F \alpha^4 \left(\frac{m_e}{M_P} \right)$$

1) Resolvamos $A \mathbb{I} \cdot \mathbb{S}$ primeiro como já fizemos na base $\mathbb{I} = \mathbb{I} + \mathbb{S}$

$|11\rangle$; $|10\rangle$; $|1-1\rangle$; $|00\rangle$

2) Calculamos a matriz de S_z nessa base:

$|11\rangle = |1+\rangle$
 $|10\rangle = \frac{1}{\sqrt{2}} [|1+\rangle + |1-\rangle]$
 $|1-1\rangle = |1-\rangle$
 $|00\rangle = \frac{1}{\sqrt{2}} [|1+\rangle - |1-\rangle]$

$| \epsilon_1, \epsilon_2 \rangle \rightarrow \begin{matrix} \epsilon_1 \Rightarrow S_z \\ \epsilon_2 \Rightarrow I_z \end{matrix}$

$S_z |11\rangle = \frac{\hbar}{2} |11\rangle$

$S_z |10\rangle = \frac{1}{\sqrt{2}} \left[\frac{\hbar}{2} |1+\rangle - \frac{\hbar}{2} |1-\rangle \right] = \frac{\hbar}{2} |00\rangle$

$S_z |1-1\rangle = -\frac{\hbar}{2} |1-1\rangle$

$S_z |00\rangle = \frac{\hbar}{2} |10\rangle$

$(W_2) = \hbar \omega_0 \begin{pmatrix} 1 & 0 & 0 & 0 \\ 0 & 0 & 0 & 1 \\ 0 & 0 & -1 & 0 \\ 0 & 1 & 0 & 0 \end{pmatrix}$; $(H_{hf}) = \begin{pmatrix} \frac{1}{4} \hbar^2 A \mathbb{1}_{3 \times 3} & 0 \\ 0 & -\frac{3}{4} \hbar^2 A \end{pmatrix}$

A diagonalização de $(W_2) + (H_{hf})$ dá o "resultado exato", quando $A \hbar^2 \ll \hbar \omega_0$.

Como estamos supondo $\hbar \omega_0 \ll A \hbar^2$ tratamos W_2 via teoria de perturbação:

a) $|00\rangle$

$\langle 00 | W_2 | 00 \rangle = \hbar \omega_0 \langle 00 | 11 \rangle = 0$

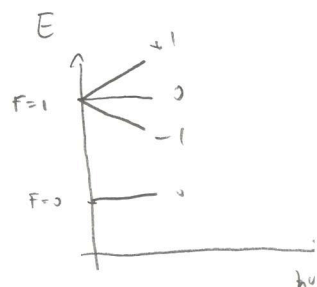
a) $|11\rangle$

$\hbar \omega_0 \begin{pmatrix} 1 & 0 & 0 \\ 0 & 0 & 0 \\ 0 & 0 & -1 \end{pmatrix}$

$\Delta E_{1,1} = \hbar \omega_0$

$\Delta E_{1,0} = 0$

$\Delta E_{1,-1} = -\hbar \omega_0$



1) Resolvemos primeiro $W_3 = 2\omega_0 S_z$.

- mudamos a base original $|\epsilon_1, \epsilon_2\rangle \equiv |m_s, m_l\rangle$

- W_2 não depend de $I_z \Rightarrow W_3 |\epsilon_1, \epsilon_2\rangle = \hbar\omega_0 \epsilon_1 |\epsilon_1, \epsilon_2\rangle$

$$\langle \epsilon_1', \epsilon_2' | W_3 | \epsilon_1, \epsilon_2 \rangle = \begin{pmatrix} \hbar\omega_0 & 0 & 0 & 0 \\ 0 & \hbar\omega_0 & 0 & 0 \\ 0 & 0 & -\hbar\omega_0 & 0 \\ 0 & 0 & 0 & -\hbar\omega_0 \end{pmatrix}$$

Portanto temos:

níveis $|++\rangle, |+-\rangle \rightarrow E = E_0 + \hbar\omega_0$

níveis $|-\rangle, |--\rangle \rightarrow E = E_0 - \hbar\omega_0$

ambos níveis ficam duplamente degenerados.

2) $W_{int} = A \mathbb{I} \cdot S$ é agora tratado como perturbação sobre o resultados anteriores:

$$\mathbb{I} \cdot S = I_3 S_3 + \frac{1}{2} (I_+ S_- + I_- S_+)$$

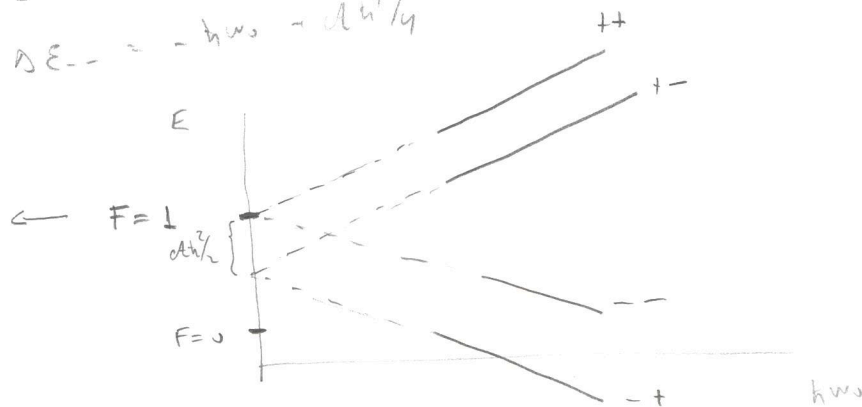
• $\langle +m_l' | A \mathbb{I} \cdot S | +m_l \rangle = A \langle +m_l' | I_3 S_3 | +m_l \rangle = \frac{A \hbar^2}{2} m_l S_{m_l} ; m_l = \pm 1$

• $\langle -m_l' | A \mathbb{I} \cdot S | -m_l \rangle = A \langle -m_l' | I_3 S_3 | -m_l \rangle = -\frac{A \hbar^2}{2} m_l S_{m_l} ; m_l = \pm 1$

\Rightarrow

$ ++\rangle \rightarrow$	$\Delta E_{++} = \hbar\omega_0 + \frac{A \hbar^2}{4}$	\rightarrow matriz = $\begin{pmatrix} 1 & 0 \\ 0 & -1 \end{pmatrix} \frac{A \hbar^2}{4}$
$ +-\rangle \rightarrow$	$\Delta E_{+-} = \hbar\omega_0 - \frac{A \hbar^2}{4}$	
$ -\rangle \rightarrow$	$\Delta E_{-} = -\hbar\omega_0 - \frac{A \hbar^2}{4}$	\rightarrow matriz = $\begin{pmatrix} -1 & 0 \\ 0 & 1 \end{pmatrix} \frac{A \hbar^2}{4}$
$ --\rangle \rightarrow$	$\Delta E_{--} = -\hbar\omega_0 - \frac{A \hbar^2}{4}$	

(fazendo $\hbar\omega_0 = 0$)



Os novos estados e suas energias são:

$$|11\rangle \longrightarrow \frac{c\hbar^2}{4} + \hbar\omega_s$$

$$|1-1\rangle \longrightarrow \frac{c\hbar^2}{4} - \hbar\omega_s$$

$$|0+\rangle = a_+|10\rangle + b_+|00\rangle \longrightarrow -\frac{c\hbar^2}{4} + \sqrt{\frac{c^2\hbar^4}{4} + \hbar^2\omega_s^2}$$

$$|0-\rangle = a_-|10\rangle + b_-|00\rangle \longrightarrow -\frac{c\hbar^2}{4} - \sqrt{\frac{c^2\hbar^4}{4} + \hbar^2\omega_s^2}$$

onde $\begin{pmatrix} a_{\pm} \\ b_{\pm} \end{pmatrix}$ são auto-vetores do segundo bloco de H' e NÃO SÃO auto-estados de S_z , I_z ou F_z .

Veja que:

$$p/ \quad \hbar\omega \ll \frac{c\hbar^2}{2} \quad \lambda = -\frac{c\hbar^2}{4} \pm \sqrt{\frac{c^2\hbar^4}{4} + \hbar^2\omega_s^2} \approx -\frac{c\hbar^2}{4} \pm \frac{c\hbar^2}{2} \left(1 + \frac{2\omega_s^2}{c\hbar^2}\right) = \begin{cases} \frac{c\hbar^2}{4} + \frac{\omega_s^2}{c} \\ -\frac{3c\hbar^2}{4} - \frac{\omega_s^2}{c} \end{cases}$$

$$p/ \quad \hbar\omega \gg \frac{c\hbar^2}{2} \quad \lambda \approx -\frac{c\hbar^2}{4} \pm \hbar\omega_s \left(1 + \frac{\hbar c\omega_s^2}{8\omega_s^2}\right) \approx \pm \hbar\omega_s - \frac{c\hbar^2}{4}$$

$$\textcircled{1} \quad H = c \vec{\alpha} \cdot \vec{p} + \beta m c^2 \quad \beta = \begin{pmatrix} 1 & 0 \\ 0 & -1 \end{pmatrix} \quad \alpha_j = \begin{pmatrix} 0 & \sigma_j \\ \sigma_j & 0 \end{pmatrix}$$

$$\Lambda = \frac{\vec{\sigma}' \cdot \vec{p}}{2|\vec{p}|} \quad \alpha_j' = \begin{pmatrix} \sigma_j & 0 \\ 0 & \sigma_j' \end{pmatrix}$$

$$\text{Definindo } \Xi = \begin{pmatrix} 0 & 1 \\ 1 & 0 \end{pmatrix} \quad \Xi \alpha_j \Xi^{-1} = \alpha_j' \quad \alpha_j = \Xi \alpha_j'$$

$$[\vec{\alpha} \cdot \vec{p}, \vec{\sigma}' \cdot \vec{p}] = [\Xi \vec{\alpha}' \cdot \vec{p}, \vec{\sigma}' \cdot \vec{p}] = 0 \quad \text{pois } \Xi \text{ é constante e } [\Xi, \vec{\sigma}' \cdot \vec{p}] = 0$$

$$[\vec{\sigma}' \cdot \vec{p}, \vec{p}] = \begin{pmatrix} \vec{\sigma}' \cdot \vec{p} & 0 \\ 0 & \vec{\sigma}' \cdot \vec{p} \end{pmatrix} \begin{pmatrix} 1 & 0 \\ 0 & -1 \end{pmatrix} - \begin{pmatrix} 1 & 0 \\ 0 & -1 \end{pmatrix} \begin{pmatrix} \vec{\sigma}' \cdot \vec{p} & 0 \\ 0 & \vec{\sigma}' \cdot \vec{p} \end{pmatrix} = 0$$

$$\Rightarrow [\Lambda, H] = 0$$

$$\Lambda = \frac{1}{2P} \begin{pmatrix} \vec{\sigma} \cdot \vec{P} & 0 \\ 0 & \vec{\sigma} \cdot \vec{P} \end{pmatrix} = \frac{1}{2P} \left(\begin{array}{cc|cc} p_3 & p_- & 0 & 0 \\ p_+ & -p_3 & 0 & 0 \\ \hline 0 & 0 & p_3 & p_- \\ 0 & 0 & p_+ & -p_3 \end{array} \right)$$

Auto-valores de $\frac{1}{2P} \begin{pmatrix} p_3 & p_- \\ p_+ & -p_3 \end{pmatrix}$: $(p_3 - \lambda)(-p_3 - \lambda) - p_+ p_- = 0$

$$\lambda^2 - p^2 = 0 \quad \lambda = \pm P$$

$$\lambda = \pm \frac{1}{2}$$

Auto-vetores

$$\frac{1}{2P} \begin{pmatrix} p_3 & p_- \\ p_+ & -p_3 \end{pmatrix} \begin{pmatrix} a \\ b \end{pmatrix} = \pm \frac{1}{2} \begin{pmatrix} a \\ b \end{pmatrix}$$

$$\frac{1}{P} (a p_3 + b p_-) = \pm a \quad b = \frac{\pm a P - a p_3}{p_-} = a \frac{(\pm P - p_3)}{p_-}$$

$$V_+ = \begin{pmatrix} 1 \\ \frac{P - p_3}{p_-} \end{pmatrix}$$

$$V_- = \begin{pmatrix} 1 \\ -\frac{P - p_3}{p_-} \end{pmatrix}$$

Não normalizados

Auto-vetores de Λ

$$\begin{pmatrix} a V_+ \\ a' V_+ \end{pmatrix}, \begin{pmatrix} a V_+ \\ -a' V_+ \end{pmatrix} \rightarrow \text{auto-valor } \pm 1/2 ; \text{ normal. } \left(1 + \frac{(P - p_3)^2}{p_-^2}\right) (a^2 + a'^2) = 1$$

2 vetores ortogonais podem ser $a' = a$.

$$\begin{pmatrix} V_- \\ c V_- \end{pmatrix}, \begin{pmatrix} V_- \\ -V_- \end{pmatrix} \rightarrow \text{auto-valor } -1/2 ; \text{ idem}$$

Tomemos os 2 auto-vetores degenerados de H .

$$U_1 = \begin{pmatrix} 1 \\ 0 \\ cP_3/E_+ \\ cP_+ / E_+ \end{pmatrix}$$

$$U_2 = \begin{pmatrix} 0 \\ 1 \\ cP_- / E_+ \\ -cP_3 / E_+ \end{pmatrix}$$

Para que $AU_1 + BU_2$ seja auto-valor de Λ devemos ter

$$A \begin{pmatrix} 1 \\ 0 \end{pmatrix} + B \begin{pmatrix} 0 \\ 1 \end{pmatrix} = \xi \frac{A}{E_+} \begin{pmatrix} P_3 \\ P_+ \end{pmatrix} + \xi \frac{B}{E_+} \begin{pmatrix} P_- \\ -P_3 \end{pmatrix} \quad (\text{Dois auto-valor proporcionais})$$

$$A = \xi (AP_3 + BP_-) c / E_+ \rightarrow A \left(1 - \xi \frac{P_3 c}{E_+}\right) \frac{E_+}{\xi c P_-} = B$$

$$B = \xi (AP_+ - BP_3) c / E_+$$

$$B \left(1 + \xi \frac{P_3 c}{E_+}\right) = \frac{AP_+ c}{E_+}$$

$$\frac{A E_+}{\xi c P_-} \left(1 - \xi \frac{P_3 c}{E_+}\right) \left(1 + \xi \frac{P_3 c}{E_+}\right) = \frac{A P_+ c}{E_+}$$

$$1 - \xi^2 \frac{P_3^2 c^2}{E_+^2} = \frac{P_+ P_- c^2}{E_+^2} \xi^2$$

$$E_+^2 - P_3^2 c^2 \xi^2 = P_+ P_- c^2 \xi^2$$

$$E_+^2 = P^2 c^2 \xi^2 \rightarrow \xi = \pm E_+ / pc$$

$\xi = \pm E_+ / pc$

duas opções

$$\Rightarrow W_1 = AU_1 + A \left(1 - \frac{P_3}{P}\right) \frac{P}{P_-} U_2 = \begin{pmatrix} \alpha \\ P \\ \xi \alpha \\ \xi P \end{pmatrix}$$

$$\begin{pmatrix} \alpha \\ P \end{pmatrix} = \begin{pmatrix} A \\ 0 \end{pmatrix} + \begin{pmatrix} 0 \\ A(1 - P_3/P) \frac{P}{P_-} \end{pmatrix} = A \begin{pmatrix} 1 \\ \frac{+P - P_3}{P_-} \end{pmatrix} = U_+$$

$\Rightarrow W_1$ é auto-estado de H , Λ com auto-valor E_+ e $+1/2$.

$$W_2 = AU_1 + A \left(-1 - \frac{P_3}{P}\right) \frac{P}{P_-} U_2 \equiv \begin{pmatrix} \alpha \\ P \\ \xi \alpha \\ \xi P \end{pmatrix}$$

$$\begin{pmatrix} \alpha \\ P \end{pmatrix} = \begin{pmatrix} A \\ 0 \end{pmatrix} + \begin{pmatrix} 0 \\ A(-1 - P_3/P) \frac{P}{P_-} \end{pmatrix} = A \begin{pmatrix} 1 \\ \frac{-(P+P_3)}{P_-} \end{pmatrix} = U_-$$

$\Rightarrow W_2$ é auto-valor de H e Λ com E_+ e $-1/2$